

линия сильно зависит от состава матрицы и гетерогенности пробы (крупности зёрен). Существуют разл. методы преодоления этих трудностей, связанные в осн. со спец. приготовлением пробы.

Один из наиб. распространённых методов Р. а.— метод внутр. стандарта состоит в том, что в пробу добавляют известное кол-во элемента В, соседнего (по периодич. системе элементов) с анализируемым элементом А. Интенсивность аналитич. линий элементов А и В, расположенных в спектре близко одна от другого, с изменением состава матрицы изменяется почти одинаково. Затем строят зависимость отношений интенсивностей линий А и В от отношения их концентраций. Существует также метод, основанный на введении в пробу неск. разл. добавок  $\Delta C_A$  анализируемого элемента А, построении графика зависимости интенсивности  $I_A$  (за вычетом фона) от  $\Delta C_A$  и экстраполяции его до абсциссы, т. е. до значения  $I_A = 0$ , для отсчитывания значения  $-(\Delta C_A)_0$ . Искомое значение  $C_A = (\Delta C_A)_0$ .

Метод разбавления пробы нейтральной средой заключается в том, что элементом, мало влияющим на интенсивность аналитич. линии, разбавляют пробу в 5—10 раз, тем самым снижая влияние мешающих элементов; его применяют в том случае, когда содержание определяемого элемента достаточно велико.

В поточном произв-ве часто производят Р. а. на все элементы пробы, для чего служат методы внешн. стандарта, в к-рых по интенсивностям аналитич. линий и соответствующих линий стандартных образцов находят содержание элементов в пробе. Один из таких методов — метод множественной регрессии; в нём для определения концентрации  $C_M$  элемента М используют полином:

$$C_M = a_{M,0} + \sum_Q a_{MQ} I_Q + I_M \sum_{Q \neq M} a'_{MQ} I_Q + \sum_Q a''_{MQ} I_Q^2 + \dots$$

где  $I_Q$  и  $I_M$  — интенсивности линий Q-го и M-го элементов пробы. Коэф.  $a_{M,0}$ ,  $a'_{MQ}$ ,  $a''_{MQ}$  определяют по стандартным образцам, число к-рых достигает неск. десятков. Малые члены полинома не учитывают, расчёты осуществляют на ЭВМ. Возможности метода ограничены необходимостью большого числа стандартных образцов и зависимостью кооф. от области концентраций.

Метод теоретич. поправок предполагает аддитивность поправок, вносимых каждым элементом матрицы в интенсивность аналитич. линии. Если интенсивность аналитич. линии элемента А в пробе  $I_A$ , а эталоне  $I_{A,\text{эт}}$ , то в первом приближении концентрация

$$C_A = C_{A,\text{эт}} (I_A / I_{A,\text{эт}}).$$

В том случае, когда концентрации элемента М в пробе и в эталоне мало отличаются одна от другой ( $|C_{M,\text{эт}} - C_M| \sim 1\%$ ), концентрацию  $C_A$  находят по формуле:

$$C_A = C_{A,0} \left[ 1 + \sum_M a_{AM} (C_{M,\text{эт}} - C_M) \right],$$

где  $a_{AM}$  — поправка на элемент М; такие поправки могут быть найдены теоретически для каждой пары АМ элементов. Концентрацию  $C_A$  находят с помощью последоват. приближений, в расчётах используют ЭВМ.

В методе фундам. параметров используют точную аналитич. зависимость интенсивности аналитич. линий элемента от осн. физ. параметров пробы, найденную для смешанного характеристич. и тормозного первичного излучения рентг. трубки.

Предел обнаружения концентраций  $C_{\min}$  при флуоресцентном Р. а. зависит от ат. номера Z элемента и от серии (K и L), к к-рой принадлежит аналитич. линия (рис. 2). Методы флуоресцентного Р. а. нашли приме-

нение на обогатит. фабриках цветной металлургии (для экспрессного анализа продуктов флотации, определения меди в шлаках), в чёрной металлургии (для анализа руды, кокса, сплавов, сталей разных марок), на цементных заводах (для анализа сырьевых смесей)

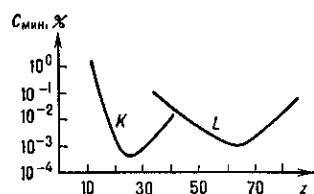


Рис. 2. Зависимость предела обнаружения  $C_{\min}$  от атомного номера элемента Z при анализе по линиям K и L-серий.

и т. д. Разработаны также методы Р. а. с возбуждением спектра радиоактивным излучением (рентгено-радиометрич. анализ); соответствующая аппаратура малогабаритна, её вес невелик. Эти методы используют в полевых условиях, с их помощью осуществляют каротаж скважин. Методами флуоресцентного Р. а. определяют состав и толщины тонких плёнок, для чего разработано неск. итерационных методов. Анализ жидкости (напр., нефти на содержание серы) осуществляют по поглощению ею рентг. излучения, к-рое измеряют рентг. фотометром.

Рентгеновский микроанализ (локальный анализ) участков пробы  $\sim 1-3 \text{ мкм}^2$  выполняют с помощью электронного зонда в микроанализаторе. Электронный зонд формируют с помощью электростатич. имагн. фокусировки до сечения диам.  $\sim 1 \text{ мкм}$ . Анализ осуществляют по рентг. излучению образца, к-рое разлагают в спектр с помощью рентг. спектрометра. В этом методе вводят поправки на Z определяемого элемента, поглощение его излучения в пробе и его флуоресценцию, возбуждаемую тормозной компонентой излучения и характеристич. излучениями др. элементов в пробе. Микроанализ применяют при исследованиях взаимной диффузии 2- и 3-компонентных систем, процессов кристаллизации, локальных флуктуациях состава сплавов и т. д.

Лит.: В ло хин М. А., Методы рентгеноспектральных исследований, М., 1959; Лосев Н. Ф., Количественный рентгеноспектральный флуоресцентный анализ, М., 1969; Плотников Р. И., Пшеничный Г. А., Флуоресцентный рентгено-радиометрический анализ, М., 1973; Физические основы рентгеноспектрального локального анализа, пер. с англ., М., 1973; Электронно-зондовый микронализ, пер. с англ., М., 1974; А фонин В. П., Гуничева Т. Н., Рентгеноспектральный флуоресцентный анализ горных пород и минералов, Новосиб., 1977; Лосев Н. Ф., Смагунова А. Н., Основы рентгеноспектрального флуоресцентного анализа, М., 1982; Рентгенофлуоресцентный анализ, под ред. Х. Эрхарта, пер. с нем., М., 1985; Бахтиаров А. В., Рентгеноспектральный флуоресцентный анализ в геологии и геохимии, Л., 1985; Рентгенофлуоресцентный анализ, под ред. Н. Ф. Лосева, Новосиб., 1991.

М. А. Блохиин.

**РЕНТГЕНОСТРУКТУРНЫЙ АНАЛИЗ** — см. Рентгеноструктурный анализ.

**РЕНТГЕНОЭЛЕКТРОННАЯ СПЕКТРОСКОПИЯ** (электронная спектроскопия для химического анализа) (РЭС, ЭСХА) — совокупность методов определения строения хим. соединений, состава и структуры поверхности твёрдых тел на основе анализа фотоэлектронов, вылетающих из вещества под воздействием рентг. излучения.

Кинетич. энергия фотоэлектронов  $E_{\text{кин}}$ , выбитых рентг. квантами  $h\nu$  ( $\nu$  — частота рентг. излучения) с внутр. или внеш. оболочек атома, равна

$$E_{\text{кин}} = h\nu - E_{\text{св}},$$

где  $E_{\text{св}}$  — энергия связи электрона в образце, определяемая энергией электрона в атоме и взаимодействиями атома с др. атомами (хим. связь в молекуле и взаимодействием с атомами др. молекул). Т. о., анализ кинетич. энергии вылетающих из вещества электронов позволяет получить информацию об элементном составе образца, распределении хим. элементов по по-